

УДК 541.64:539.3

## К ВОПРОСУ О МЕХАНИЗМЕ ВЫНУЖДЕННО-ЭЛАСТИЧЕСКОЙ ДЕФОРМАЦИИ

*В. И. Бекичев*

На основании изучения отжига методом кривых усадки и изометрического нагрева и исследования дипольно-сегментального движения в образцах поликарбоната, вытянутого одноосно в стеклообразном и высокоэластическом состояниях, сделан вывод о развитии вынужденно-эластической и высокоэластической деформации преимущественно по механизму, связанному со взаимным перемещением соединенных проходными цепями надмолекулярных доменов. С указанных позиций объясняются наблюдаемые на опыте различия в термомеханическом поведении этих образцов, выражаются в том, что в образцах, деформированных на режиме вынужденной эластичности, процессы переупаковки происходят при температурах намного ниже температуры стеклования. Не обнаружено заметного влияния вытяжки в обоих состояниях на процесс дипольно-сегментальной релаксации, который связывается с молекулярным движением в «аморфных» доменах. Предполагается, что изменение кинетических характеристик напряженных проходных цепей можно заметить, лишь затормозив дипольно-сегментальное движение в доменах, например, закристаллизовав их.

Со времени появления теории вынужденно-эластической деформации полимеров считалось, что эта деформация, как и «замороженная» высокоэластическая, исчезает только после нагревания разгруженного образца выше температуры стеклования  $T_c$  [1], т. е., что процессы переупаковки в деформированных полимерах могут происходить только выше этой температуры.

Лайус и Кувшинский [2] первыми наблюдали процессы переупаковки в стеклообразном состоянии образцов вытянутого ПММА, а Аржаков и Кабанов [3], изучив релаксацию деформации при непрерывном нагревании деформированных ниже  $T_c$  образцов этого полимера, сделали вывод о том, что вынужденно-эластическая деформация связана не только с возникновением и «замораживанием» неравновесных конформаций макромолекул (механизм I), но, возможно, и со взаимным перемещением и деформированием соединенных проходными цепями надмолекулярных доменов (механизм II).

Ввиду чрезвычайной важности затронутого вопроса представлялось интересным выяснить, насколько общим является процесс, изученный Аржаковым и Кабановым. Если в процессе вытяжки возникают неравновесные конформации лишь относительно редких проходных цепей, то вряд ли это заметно повлияет на наивероятнейшее время релаксации дипольно-сегментального процесса, которое, по данным Михайлова, увеличивалось с вытяжкой линейных аморфных полимеров [4].

### Экспериментальная часть

Для исследований использовали поликарбонат (ПК), поддающийся вытяжке в широком интервале температур ниже и выше  $T_c$ . Исходным образцом служила аморфная изотропная пленка ПК фирмы «Байер» ( $T_c=135^\circ$ ), полученная из раствора. «Холодную» вытяжку образцов, нарезанных в виде прямоугольных полосок длиной до 100, шириной до 55 и толщиной 0,15 мм, производили при 20° на стандартных

разрывных машинах с маятниковыми силоизмерителями при скоростях движения подвижного зажима от 10 до 500 мм/мин. В высокоэластическом состоянии вытяжку производили под действием постоянной нагрузки в термостате, поддерживающем заданную температуру с точностью  $\pm 1^\circ\text{C}$ . В первом случае растяжение прекращали после подхода границ шейки к зажимам, во втором — после достижения заданной деформации образцы быстро охлаждали до комнатной температуры, после чего нагрузку снимали.

Термомеханические кривые усадки (ТМК) и диаграммы изометрического нагрева (ДИН) снимали по методике, описанной в [5]. Температурные зависимости тангенса угла диэлектрических потерь  $\tg \delta$  измеряли при частоте 400 Гц [6]. Для предотвращения усадки в процессе измерений  $\tg \delta$  концы вытянутых образцов, помещенных на заземленный электрод, фиксировали. Скорость нагревания при измерениях составляла 3 град/мин.

### Результаты и их обсуждение

Диаграммы растяжения при «холодной» вытяжке исследованных образцов по форме не отличались от подробно описанных в литературе [1]. Шейка возникла в одном или нескольких местах по длине образца. Вытяжка происходила одновременно по всем границам невытянутый полимер — шейка. Моменту образования шейки (шеек) соответствовал максимум на диаграмме растяжения. В высокоэластическом состоянии вытяжка происходила одновременно по всей длине образца.

На рис. 1 приведены ТМК и ДИН двух образцов ПК. Образец 1 получен «холодной» вытяжкой при скорости растяжения 100 мм/мин (предел вынужденной эластичности — 8 кГ/мм<sup>2</sup>, общая вытяжка  $\lambda=110\%$ ), образец 2 — вытяжкой при  $160^\circ$  (начальное напряжение — 0,1 кГ/мм<sup>2</sup>,  $\lambda=125\%$ ). Соответствующие ТМК (кривые 2, 4) показывают что деформация в обоих случаях полностью обратима. Однако, как и в случае ПММА, описанном в [3], восстановление длины образца 1 начинается задолго до  $T_c$ . Участок *B* этой кривой, как предположено в [3], отвечает деформации, развившейся при вытяжке по механизму I, а участок *A* — деформации, развившейся по механизму II. Восстановление длины образца 2, как и следовало ожидать [5], начинается при  $T_c$ . В отличие от ДИН образцов линейных аморфных полимеров, «замороженных» после вытяжки в высокоэластическом состоянии [5], ДИН образца 1 (кривая 1) начинается, как и ТМК, при  $45^\circ$ . Примечательно, что в отличие от образца 2, сохраняющего в процессе ДИН свою форму вплоть до наступления вязкотекучего состояния, образец 1 еще ниже  $T_c$  покрывается многочисленными микро- и макротрещинами, направленными поперек направления вытяжки. Края большинства макротрещин раздвинуты настолько, что трещины образуют сквозные отверстия овальной формы. Сразу после  $T_c$  внутренние напряжения в образце 1 резко спадают, а сам образец разрывается на две половины.

Вопреки ожиданиям, мы не наблюдали повышения температуры максимума  $\tg \delta_{\max}$  в области дипольно-сегментальных потерь (рис. 2) ни для образца 2 (кривая 2), ни для образца 1 (кривая 3). Небольшое снижение величины  $\tg \delta_{\max}$  образца 2 может быть отнесено за счет подсушивания в процессе вытяжки. По-видимому, требуется всестороннее исследование влияния вытяжки на время релаксации дипольно-сегментального процесса на образцах достаточно большого числа полимеров различного молекулярного строения, так как полученный результат противоречит данным единственной работы [4], посвященной этому вопросу.

Если оба типа вытяжки не влияют на это время, то, очевидно, надо полагать, что вытяжка в обоих случаях развивается по механизму II, а различие в термомеханических свойствах образцов 1 и 2 объясняется лишь различиями в размерах и плотностях упаковки доменов в вытянутых образцах. В пользу такого предположения могут свидетельствовать, например, данные Бартенева и Кучерского [7], обнаруживших перемещение микроблоков при высокоэластической деформации каучукоподобных полимеров. С таких позиций приведенные данные получают простое объяснение.

Вследствие неравенства продольных и поперечных размеров доменов, молекулы в которых упакованы в определенном порядке, плотность проходных цепей в торцевых прослойках между доменами несколько выше, чем в боковых. Поэтому со стороны последних домены связаны в основном молекулярными силами. Ниже температуры хрупкости  $T_{xp}$  сумма этих сил сравнима, а выше  $T_{xp}$  становится несколько меньше, чем сумма сил, удерживающих полимерные цепи в объеме доменов. Это и определяет

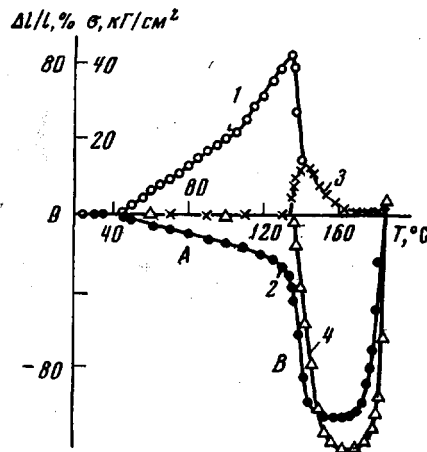


Рис. 1. Внутренние напряжения (1, 3) и термомеханические кривые усадки (2, 4) образцов 1 (1, 2) и 2 (3, 4)

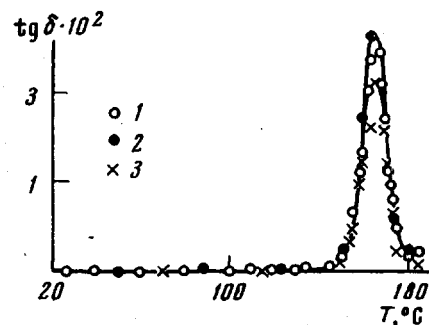


Рис. 2. Температурные зависимости  $\text{tg } \delta$  (400 Гц) для исходной изотропной пленки (1), вытянутой в стеклообразном (2) и высокоэластичном состояниях (3)

возможность перемещения доменов относительно друг друга при вынужденно-эластической деформации. Наиболее напряженные проходные цепи при этом обрываются подобно тому, как это происходит при перемещении кристаллических доменов [8]. При переходе через  $T_c$  силы связи молекул в доменах ослабевают настолько, что крупные домены могут распадаться на меньшие по размерам, которые могут служить узлами, связывающими молекулы линейного полимера в единую молекулярную сетку, как это представляется в работах Шишкина с сотр. [9]. Вследствие большей податливости доменов проходные цепи уже не могут обрываться. Наиболее длинные из них вытягиваются, а наиболее короткие выскальзывают из этих узлов. Это предопределяет лучшую упаковку и меньшую дефектность структуры образца 2 по сравнению с образцом 1. По отношению к электрическому полю структура этих образцов оказывается гомогенной. Изменяя диэлектрические потери в области дипольно-сегментальной релаксации, мы наблюдаем валовый процесс, определяемый в основном молекулярным движением в «аморфных» доменах. Заметить изменение кинетических характеристик напряженных проходных цепей, по всей вероятности, можно лишь, затормозив дипольно-сегментальное движение в доменах, например, закристаллизовав их.

Поступила в редакцию  
25 XII 1972

#### ЛИТЕРАТУРА

1. Ю. С. Лазуркин, Р. Л. Фогельсон, Ж. техн. физики, 21, 267, 1951.
2. Л. А. Лайус, Е. В. Кувшинский, Высокомолек. соед., 6, 52, 1964.
3. С. А. Аржаков, В. А. Кабанов, Высокомолек. соед., Б13, 318, 1971.
4. Г. П. Михайлов, Ж. техн. физики, 21, 1395, 1951.
5. В. И. Бекичев, Г. М. Бартенев, Высокомолек. соед., А14, 545, 1972.
6. В. И. Бекичев, Г. М. Бартенев, Высокомолек. соед., А12, 1240, 1970.
7. Г. М. Бартенев, А. М. Кучерский, Механика полимеров, 1970, 544.
8. Н. И. Шишкин, М. Ф. Милагин, Механика полимеров, 1966, 323.
9. A. Peterlin, J. Polymer Sci., C32, 297, 1971.